

Einfluss von Licht und Temperatur auf die Schwärmzeit von *Chironomus plumosus* L. im Jahresverlauf

von

F. RÖMER und S. ROSIN

Zoologisches Institut der Universität Bern,
Abteilung für Genetik und für Biologie der Wirbellosen.

Mit 5 Textabbildungen und 2 Tabellen

Chironomus plumosus L. gilt wie andere Chironomiden als Dämmerungsschwärmer (SYRJÄMÄKI, 1966 und 1967; KOSKINEN 1969), doch können zuweilen kleinere Schwärme bei vollem Sonnenlicht festgestellt werden (FISCHER, 1969 *b*; eigene Beobachtungen). Ähnliches erwähnt HILSENHOFF (1966): am Winnebago-See (USA) schwärmt *Ch. plumosus* hauptsächlich während der Abend und Morgendämmerung, jedoch auch zu jeder anderen Tageszeit. Diese Beobachtungen sprechen dafür, dass ausser dem tagesperiodischen Lichtwechsel noch andere Faktoren beim Schwärmen eine Rolle spielen.

SYRJÄMÄKI (1966) hat bei der nahe verwandten Art *Ch. pseudothummi* Strenzke gezeigt, dass der Lichtintensitätsbereich während des Schwärmens stark von der Lufttemperatur abhängig ist. Unsere Untersuchungen bestätigen diese Befunde für *Ch. plumosus* und zeigen, dass die Wassertemperatur als weiterer Faktor hinzukommt.

Ch. plumosus schwärmt an den Ufern des Wohlensees bei Bern vom Mai bis in den Oktober. Während dieser ausgedehnten Schwärmperiode variieren die Sonnenuntergangszeiten, die Luft- und die Wassertemperaturen ganz beträchtlich. Die Bedeutung, die der Tageszeit, dem Licht und der Temperatur für das Schwärmen zukommen, kann deshalb an dieser Art besonders gut untersucht werden.

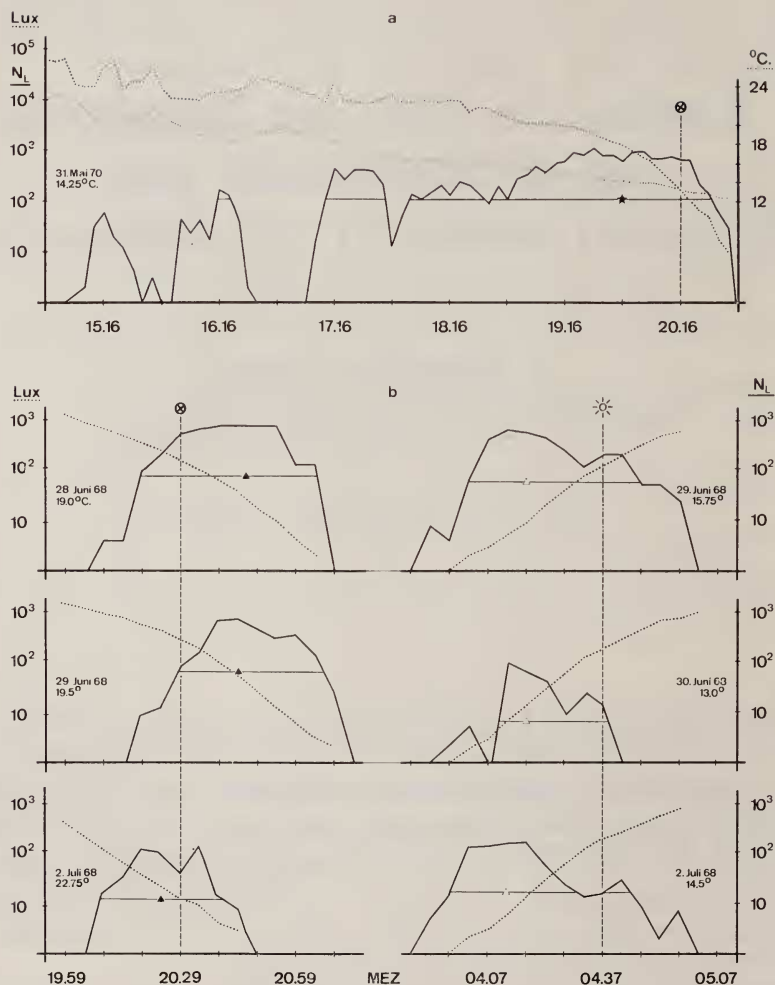


ABB. 1.

Schwärmzeit und Schwarmgröße bei verschiedenen Licht- und Temperaturbedingungen
 a) Abenddämmerungsschwärmen im Frühjahr (31. Mai 1970). b) Abend- und Morgen-
 dämmerungsschwärmen kurz nach der Sonnenwende (28. Juni — 2. Juli 1969). — Abszisse: MEZ
 mitteleuropäische Zeit; senkrechte, gestrichelte Linie: mathematischer Sonnenuntergang bzw.
 Sonnenaufgang für Bern. — Ordinate: punktierte Linie: Lichtintensität in Lux; dünn-punktierte
 Linie: Lufttemperatur in °C.; ausgezogene Kurve: Schwarmgröße N_L (Zahl der durch Locktöne
 erfassten Männchen); waagrechte Linien: Schwärmzeiten. Übrige Symbole wie in Abb. 2.

MATERIAL UND METHODE

Auf dem etwa 100 m vom Wohlensee bei Bern ($46^{\circ} 58' N$; $7^{\circ} 19' E$) entfernten Beobachtungsfeld, einer gegen den See hin offenen Waldlichtung, bildet sich regelmässig während der ganzen Schwarmzeit über der als optische Marke wirkenden Versuchsvorrichtung ein Schwarm (RÖMER, 1970a, S. 604). Ausserhalb der Schwarmzeit sitzen die Mücken auf der Vegetation, besonders häufig auf der Unterseite von Buchenblättern. Während dieser Ruhephase reagieren sie nicht auf Locktöne.

Als Mass für die Schwarmgrösse diente die Zahl der mit vorgespielten Tönen angelockten Männchen (RÖMER, 1970b, S. 949 f.). Für jeden Beobachtungstag wurden die Versuchsserien zeitlich so angesetzt, dass der mathematische Sonnenuntergang für Bern genau zwischen zwei Serien fiel; somit entsprechen sich die Messwerte verschiedener Tage genau in ihrem zeitlichen Verlauf bezogen auf den Sonnenuntergang. Als maximale Schwarmgrösse diente ein Mittelwert aus den drei Locktonserien mit der grössten Aufprallhäufigkeit (RÖMER und ROSIN, 1969); die Zeit, während der der Schwarm mindestens 10% dieser Maximalgrösse erreichte, ist als Schwarmzeit definiert worden (Abb. 1). Die Lichtintensität wurde mit einem Luxmeter alle 5 Minuten zu Beginn jeder Versuchsserie gegen den Zenith hin gemessen (Luxmeter: Typ UVA — Lux der Firma Gossen, BRD; zum Vergleich mit anderen Untersuchungen müssen die Werte noch mit einem Korrekturfaktor für Tageslicht von 1,2 multipliziert werden).

Das Beobachtungsfeld liegt jeweils schon einige Zeit vor dem mathematischen Sonnenuntergang im Schatten. Zur Zeit der Sonnenwende herrschen bei Sonnenaufgang und -untergang dort spiegelbildliche Lichtverhältnisse (Abb. 1b). Die Horizontlinie wird gegen Osten und Westen durch dichten Mischwald gebildet.

Die Lufttemperatur und die Luftfeuchtigkeit sind beim Schwarmplatz in 1,4 m Höhe über dem Boden mit einem Thermohygrographen gemessen worden. Die Wassertemperatur des Wohlensees ist im Rahmen einer anderen Untersuchung (KLÖTZLI, RÖMER und ROSIN, 1971) am Grund einer 4 m tiefen Stelle durch einen allerdings nicht sehr empfindlichen Monatsthermographen registriert worden. Da der See keine Temperaturschichtung zeigt, dürfte diese Temperatur für weite Gebiete des Seebodens gelten.

DIE ABENDLICHEN SCHWÄRMZEITEN IM JAHRESVERLAUF

(Abb. 2 und Tab. 1)

In den Jahren 1967 bis 1970 sind die Abendschwarmzeiten vom 4. Mai bis am 12. Oktober an 56 Tagen registriert worden. Während dieser Zeit verschiebt sich der Sonnenuntergang zunächst von 19.44 Uhr MEZ (4. Mai) um 45 Minuten auf 20.29 (Sonnenwende) und danach bis am 12.10. wieder um 160 Minuten auf 17.49 Uhr zurück.

Die Schwarmzeit beschreibt einen ähnlichen Jahresbogen; nur verläuft er viel steiler als der Bogen der Sonnenuntergangszeiten: Bis zur Sonnenwende liegt

die Zeit der maximalen Schwarmgrösse vor Sonnenuntergang, von da an bis am 21.8. jedoch nach Sonnenuntergang und nach diesem Datum wieder vorher. Die Helligkeit zur Zeit des Schwärmens ist also im Jahresverlauf starken Schwankungen unterworfen.

DIE HELLGKEIT WÄHREND DER ABENDLICHEN SCHWÄRMZEIT IM JAHRESVERLAUF

(Abb. 3)

Zur Zeit des Sonnenuntergangs herrschen stets vergleichbare Lichtverhältnisse. Von etwa 10 000 Lux zwei Stunden vor Sonnenuntergang sinkt die Lichtintensität auf Werte, die bei Sonnenuntergang und wolkenlosem Himmel um 200 Lux betragen. 30 Minuten nach Sonnenuntergang liegt die Lichtintensität jeweils unterhalb 10 Lux (Abb. 1).

Die Schwärme bilden sich zur Zeit dieser beträchtlichen Helligkeitsänderungen. Abb. 2 und Abb. 3 zeigen aber, dass die oben erwähnte Verschiebung der

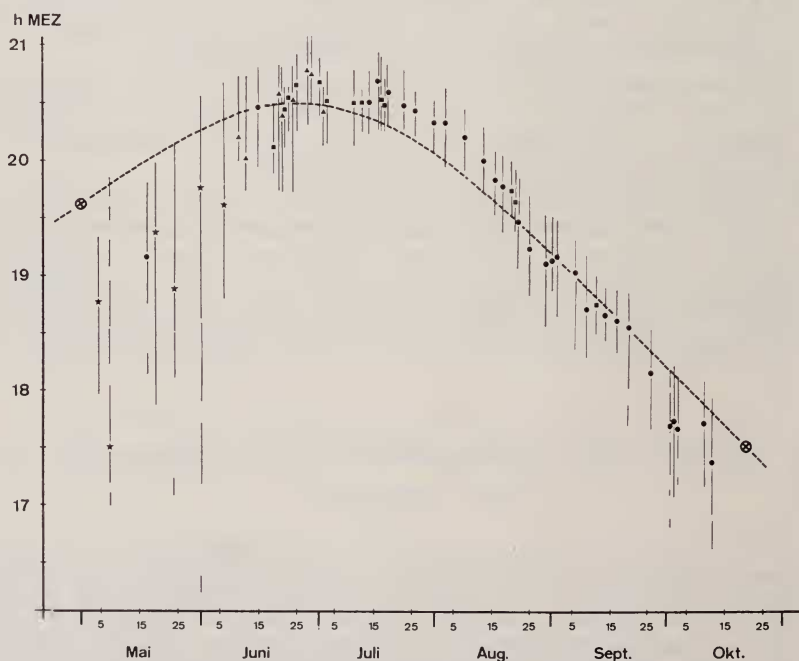


ABB. 2.

Abendliche Schwärmzeiten im Jahresverlauf. Dicke, gestrichelte Linie: Mathematischer Sonnenuntergang für Bern. — Senkrechte, dünne Linien: Schwärmzeit. — Die Sterne (1970), die Kreise (1969), die Dreiecke (1968) und die Vierecke (1967) bezeichnen die Zeit der maximalen Schwarmgrösse.

chwärmzeiten relativ zu den Sonnenuntergangszeiten zu einer beträchtlichen variation in den Helligkeitswerten zur Schwärmzeit führt: Im Frühjahr und Herbst erreicht der Schwarm seine maximale Grösse zwischen 5000 Lux und 1000 Lux, von Mitte Juli bis Mitte August jedoch erst, wenn die Lichtintensität auf 50 Lux bis 10 Lux abgesunken ist (Tab. 1). Die Mücken schwärmen also wohl bei relativ geringer Helligkeit, im Verlaufe der Jahreszeit jedoch bei Lichtintensitäten, welche um zwei Zehnerpotenzen auseinanderliegen können.



ABB. 3.

Lichtintensitätsbereiche während der Schwärmzeit im Jahresverlauf.
Symbole wie in Abb. 2.

TAB. 1

Messwerte zu den Beobachtungstagen der Jahre 1969 und 1970. U) Zeit, bzw Lichtintensität beim mathematischen Sonnenuntergang für Bern. S max.) Zeit, bzw Lichtintensität bei maximaler Schwarmgrösse. D) Zeitliche Differenz zwischen U und S max. L) Lufttemperatur zur Zeit der maximalen Schwarmgrösse. W) Mittlere Wassertemperatur von 200 Grad-Tagen vom Vortag des Schwärmens an zurückgezählt. K) Kombinierte Temperatur: $L + 0,8135 W$, vergl. Text.

| Datum | MEZ | | Min. | Lux | | ° C | | |
|----------|-------|--------|------|-----|--------|------|------|------|
| | U | S max. | D | U | S max. | L | W | K |
| 4. 5.70 | 19.44 | 18.46 | -58 | 400 | 3400 | 13.5 | 6.2 | 18.5 |
| 7. 5.70 | 19.48 | 17.31 | -137 | 160 | 5700 | 16.8 | 6.5 | 22.1 |
| 17. 5.69 | 20.00 | 19.10 | -50 | 165 | 2050 | 15.3 | 9.1 | 22.7 |
| 19. 5.70 | 20.03 | 19.23 | -40 | 170 | 1700 | 14.0 | 7.6 | 20.2 |
| 24. 5.70 | 20.08 | 18.43 | -25 | 150 | 3200 | 14.5 | 7.9 | 20.9 |
| 31. 5.70 | 20.16 | 19.46 | -30 | 170 | 1300 | 14.3 | 9.0 | 21.6 |
| 6. 6.70 | 20.22 | 19.37 | -45 | 120 | 1150 | 16.0 | 9.7 | 23.9 |
| 15. 6.69 | 20.27 | 20.27 | 0 | 180 | 180 | 16.3 | 12.2 | 26.2 |
| 14. 7.69 | 20.23 | 20.30 | +7 | 270 | 140 | 17.5 | 15.3 | 29.9 |
| 17. 7.69 | 20.22 | 20.42 | +20 | 200 | 35 | 20.3 | 15.4 | 32.8 |
| 18. 7.69 | 20.21 | 20.36 | +15 | 190 | 50 | 19.3 | 15.4 | 31.8 |
| 23. 7.69 | 20.14 | 20.29 | +15 | 157 | 31 | 21.0 | 15.1 | 33.3 |
| 26. 7.69 | 20.11 | 20.26 | +15 | 100 | 19 | 20.5 | 16.3 | 33.8 |
| 31. 7.69 | 20.05 | 20.20 | +15 | 300 | 44 | 17.3 | 17.3 | 31.4 |
| 3. 8.69 | 20.00 | 20.20 | +20 | 200 | 14 | 17.8 | 17.3 | 31.9 |
| 8. 8.69 | 19.53 | 20.13 | +20 | 300 | 25 | 18.5 | 17.6 | 32.8 |
| 13. 8.69 | 19.45 | 20.00 | +15 | 75 | 22 | 18.0 | 18.7 | 33.2 |
| 16. 8.69 | 19.40 | 19.50 | +10 | 170 | 44 | 14.3 | 19.1 | 29.8 |
| 18. 8.69 | 19.36 | 19.47 | +11 | 300 | 48 | 14.8 | 18.9 | 30.2 |
| 22. 8.69 | 19.28 | 19.28 | 0 | 220 | 220 | 14.3 | 18.4 | 29.3 |
| 25. 8.69 | 19.24 | 19.14 | -10 | 130 | 300 | 12.8 | 17.5 | 27.0 |
| 30. 8.69 | 19.15 | 19.07 | -8 | 230 | 550 | 12.5 | 15.9 | 25.4 |
| 31. 8.69 | 19.13 | 19.08 | -5 | 200 | 430 | 13.8 | 15.6 | 26.5 |
| 1. 9.69 | 19.11 | 19.09 | -2 | 170 | 222 | 15.8 | 15.2 | 28.2 |
| 6. 9.69 | 19.02 | 19.02 | 0 | 100 | 100 | 16.0 | 14.6 | 27.9 |
| 9. 9.69 | 18.56 | 18.43 | -13 | 100 | 336 | 15.5 | 14.8 | 27.5 |
| 14. 9.69 | 18.46 | 18.40 | -6 | 80 | 236 | 14.3 | 15.6 | 27.0 |
| 17. 9.69 | 18.39 | 18.37 | -2 | 390 | 475 | 13.5 | 15.9 | 26.4 |
| 20. 9.69 | 18.33 | 18.33 | 0 | 285 | 285 | 12.0 | 15.8 | 24.9 |
| 26. 9.69 | 18.21 | 18.09 | -12 | 390 | 1180 | 14.0 | 15.3 | 26.4 |
| 1.10.69 | 18.11 | 17.41 | -30 | 160 | 2300 | 13.5 | 15.0 | 25.7 |
| 2.10.69 | 18.09 | 17.44 | -25 | 290 | 1700 | 10.8 | 15.0 | 23.0 |
| 3.10.69 | 18.07 | 17.40 | -27 | 400 | 1990 | 14.0 | 15.0 | 26.2 |
| 10.10.69 | 17.53 | 17.43 | -10 | 220 | 340 | 11.3 | 14.5 | 23.1 |
| 12.10.69 | 17.49 | 17.22 | -27 | 300 | 1920 | 12.8 | 14.4 | 24.5 |

Trotz der im Jahresverlauf sehr grossen Unterschiede sind aber für einen bestimmten Tag die Helligkeitsverhältnisse für das Schwärmen von ausschlaggebender Bedeutung, wie die folgenden Beobachtungen bei wechselnder Bewölkung zeigen.

Die unterschiedlichen Helligkeiten zur Zeit des Sonnenunterganges (Tab. 1) sind auf atmosphärische Unterschiede zurückführbar. Dicke Wolkendecken bewirken eine Verdunkelung, lockere Schönwetterwolken oder Dunst dagegen eine reflexionsbedingte Erhellung. Solche Unregelmässigkeiten wirken sich auf das Schwärmen aus.

Abb. 1 a: Am 31.5.70 zogen bei leichtem Westwind sehr dicke und sehr breite Volkenbänke vorüber, was zu starker Verdunkelung und Wiederaufhellung führte. Bei vorzeitiger Verdunkelung von 15.01 bis 15.11, von 15.26 bis 15.36 und von 15.46 bis 16.26 Uhr bildete sich mit einer gewissen zeitlichen Verzögerung je ein kleiner Schwarm, der wieder verschwand. Während einer Aufhellung von etwa 35 Minuten Dauer waren von 16.26 bis 17.01 alle Mücken wiederum verschwunden. Erst von 17.06 an wuchs der Schwarm erneut zu beachtlicher Grösse heran.

Abb. 1 b zeigt die Schwarmgrösse und die Lichtintensität an drei Abenden mit unterschiedlichen Lichtverhältnissen zur Zeit der Sonnenwende. Am 28.6.68 war der Himmel wolkenlos, am 29.6.68 war es infolge leichter Bewölkung etwas heller und am 2.7.68 verdunkelte eine zusammenhängende Decke aus schweren Gewitterwolken den Himmel ausserordentlich früh. Die Schwarmzeiten an diesen drei Tagen sind den Lichtverhältnissen entsprechend verschoben; besonders deutlich kommt dies am 2.7.68 zum Ausdruck.

Die jahreszeitliche Verschiebung der beim Schwärmen herrschenden Lichtintensitäten von weniger als 50 Lux bis auf über 5 000 Lux kann ihren Grund in den wechselnden Temperaturverhältnissen haben. Die Bedeutung der Temperatur soll daher näher untersucht werden.

DIE HELLIGKEIT WÄHREND DER SCHWÄRMZEIT IN ABHÄNGIGKEIT VON DER LUFTTEMPERATUR

Abb. 4 a zeigt die Lichtintensität zur Zeit der maximalen Schwarmgrösse in Abhängigkeit von der Lufttemperatur (Vergl. auch Tab. 1). An kühlen Abenden schwärmen die Mücken im Durchschnitt bei grösserer Helligkeit als an warmen Abenden. Diese negative Korrelation zwischen Lufttemperatur und Helligkeit ist zwar mit $P < 0,1\%$ gut gesichert; sie ist jedoch nicht sehr eng (Bestimmtheitsmass $B = r^2 = 0.42$); dies spricht dafür, dass ausser der Lufttemperatur noch andere Faktoren eine Rolle spielen. Es liegt nahe, zunächst zu untersuchen, welche Bedeutung der Wassertemperatur zukommt, bei der sich die Schwarmmücken entwickelt haben.

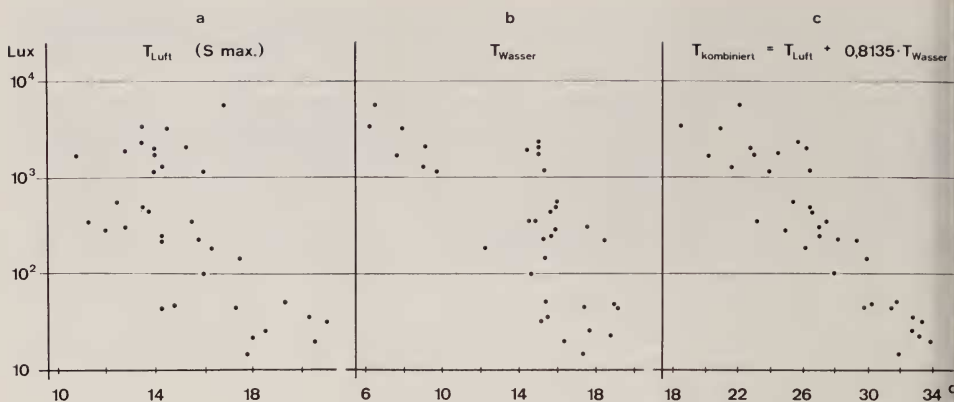


ABB. 4.

Lichtintensität zur Zeit der maximalen Schwarmgröße in Abhängigkeit von verschiedenen Temperaturen. — Ordinate: Lichtintensität in Lux. — Abszisse: Temperatur in °C. — a) Lufttemperatur zur Zeit der maximalen Schwarmgröße. — b) Durchschnittliche Wassertemperatur von 200 Grad-Tagen vor dem Schlüpfen. — c) Kombinierte Temperatur (Vergl. Text).

DIE HELLGKEIT ZUR ZEIT DER MAXIMALEN SCHWARMGRÖSSE IN ABHÄNGIGKEIT VON DER WASSERTEMPERATUR

FISCHER und ROSIN (1968) haben gezeigt, dass die Helligkeit, bei der *Ch. nudatarsis* schlüpft, von der Wassertemperatur abhängt. Bei 18° C. gehaltene Larven schlüpfen hauptsächlich in der Dämmerung, bei 13° C. aufgezogene jedoch am Vormittag. Es ist sehr wohl möglich, dass die Wassertemperatur nicht nur die Beziehung zwischen Lichtintensität und Schlüpfen steuert, sondern auch diejenige zwischen Helligkeit und Schwärmen. Es handelt sich ja in beiden Fällen um eine Aktivität der Imago. In Abb. 4 b ist nun die Helligkeit zur Zeit der maximalen Schwarmgröße in Abhängigkeit von der Wassertemperatur dargestellt.

Es handelt sich hier um die mittlere Wassertemperatur der 200 Grad-Tage vor dem Schlüpfen. Wenn die Wassertemperatur berücksichtigt werden soll, stellt sich die Frage, wann im Larven- oder Puppenleben die Temperatur einen nachhaltigen Einfluss ausüben könnte. Ist eine kurze, sensible Phase wirksam oder der gesamte Temperaturverlauf in einem längeren Entwicklungsabschnitt? — Hierzu sind uns keine experimentellen Daten bekannt. Da bei wechselwarmen Tieren die Temperatursumme zum Durchlaufen eines bestimmten Entwicklungsabschnittes annähernd konstant ist (EIDMANN, 1970), haben wir die vor dem Schwärmen liegende Zeit in konstante Zahlen von Grad-Tagen unterteilt (Tab. 2). 200 Grad-Tage bedeuten bei 20° C 10 Tage, bei 8° C aber 25 Tage. Die Wassertemperatur kann für jedes Datum vor dem Schwärmtag aus dem Temperaturdiagramm des Wohlensees entnommen werden. Warum gerade die durchschnittliche Temperatur der 200 Grad-Tage vor dem Schlüpfen gewählt worden ist, geht aus dem nächsten Abschnitt hervor.

Die Entwicklungszeit ist vom Vortag des Schwärmens an zurückverfolgt worden; dies, weil nach Fischer (1969 *b*) und Römer (1970 *a*) angenommen werden kann, dass die schwärmenden Mücken durchschnittlich schon etwa einen Tag alt sind.

Die Helligkeit zur Zeit der maximalen Schwarmgrösse in Abhängigkeit von der mittleren Wassertemperatur ergibt ebenfalls eine sehr gut gesicherte Korrelation ($P < 0.1\%$), doch ist das Bestimmtheitsmass mit $B = 0.51$ nur wenig grösser als dasjenige für die Beziehung zwischen Helligkeit und Lufttemperatur. Dies zeigt, dass mit dieser Wassertemperatur ebenfalls nur ein Teil der wirksamen Faktoren erfasst ist. Eine Kombination von Luft- und Wassertemperatur führt aber zu einer wesentlich engeren Korrelation mit der Helligkeit, bei der die Mücken schwärmen.

Die Helligkeit zur Zeit der maximalen Schwarmgrösse in Abhängigkeit von einer Kombination von Luft- und Wassertemperatur

Da einerseits sowohl im Frühjahr als auch im Herbst die Mücken bei hoher Lichtintensität schwärmen, andererseits im Frühjahr relativ niedrige Wassertemperaturen mit relativ hoher Lufttemperatur, im Herbst dagegen relativ hohe Wassertemperaturen mit relativ niedriger Lufttemperatur verbunden sind (Tab. 1), ist zu erwarten, dass eine Kombination von Luft- und Wassertemperatur mit der Lichtintensität, bei der die Mücken schwärmen, stärker korreliert ist, als die beiden Temperaturen einzeln genommen. In dem nachfolgend beschriebenen statistischen Verfahren wird die Helligkeit in Beziehung gesetzt zu einer linearen Kombination von Luft- und Wassertemperatur. Die beiden Temperaturen werden so kombiniert, dass diese Kombinationstemperatur mit der Helligkeit, bei der die Mücken schwärmen, möglichst eng korreliert ist.

Die Lufttemperatur sei mit x_1 , die Wassertemperatur mit x_2 und die Lichtintensität, gemessen in log Lux, mit y bezeichnet. x bedeute die kombinierte Temperatur und sei wie folgt zusammengesetzt: $x = x_1 + c \cdot x_2$. Der Faktor c ist nun so zu wählen, dass x möglichst eng mit y korreliert ist, d.h. dass das Bestimmtheitsmass B zwischen diesen Grössen möglichst gross wird: $B = S_{xy}^2 / S_{xx} \cdot S_{yy} = \text{Maximum}$. Anstelle von x ist $x_1 + c \cdot x_2$ zu setzen. Schreiben wir statt x_1 und x_2 nur die Indices (wie bei Linder 1960, 1967), so wird

$$S_{xx} = S_{11} + 2cS_{12} + c^2S_{22} \text{ und } S_{xy} = S_{1y} + cS_{2y}$$

$$\text{Also } B = (S_{1y} + cS_{2y})^2 / (S_{11} + 2cS_{12} + c^2S_{22}) \cdot S_{yy} = \text{Maximum.}$$

$$dB/dc = 0 \text{ ergibt } c = (S_{12} \cdot S_{1y} - S_{11} \cdot S_{2y}) / (S_{12} \cdot S_{2y} - S_{22} \cdot S_{1y}).$$

Für die 35 Schwärmtage der Jahre 1969 und 1970 (Tab. 1), bei denen die Helligkeit (y) und die Lufttemperatur (x_1) zur Zeit der maximalen Schwarmgrösse gemessen und

eine bestimmte Wassertemperatur (x_2) vor diesen Tagen ermittelt worden ist, kann nun mit obiger Formel die Grösse c berechnet werden. Die kombinierte Temperatur $x_1 + c \cdot x_2$ ist jetzt mit der Lichtintensität möglichst eng korreliert. Die Stärke der Korrelation hängt nun aber noch von der Wassertemperatur ab. Es gilt jetzt, diese zu variieren um zu prüfen, welche Werte zu dem grössten Bestimmtheitsmass führen. Hier gibt es theoretisch viele Möglichkeiten. Die für die Temperatur sensible Phase kann kürzer oder länger sein und mehr oder weniger weit zurückliegen. Wir haben hier die Annahme getroffen, die mittlere Temperatur der gesamten Entwicklungszeit von einem bestimmten Stadium an bis zur Imago sei massgebend. Daher ist die durchschnittliche Temperatur von 20, 40 etc. bis 320 Grad-Tagen vor jedem Schwärmtag ermittelt und für jede Zahl von Grad-Tagen die Korrelation der besten Kombination von Luft- und Wassertemperatur mit der Lichtintensität berechnet worden (Tab. 2).

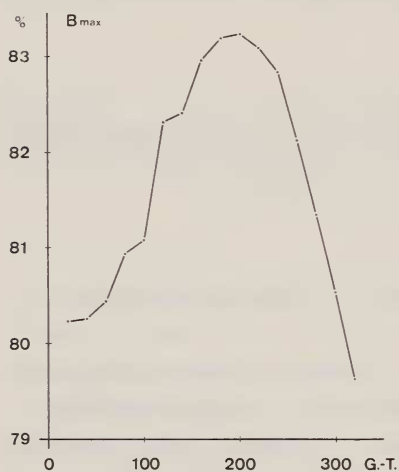


ABB. 5.

Bestimmtheitsmass der Korrelation zwischen Lichtintensität zur Zeit der maximalen Schwarmgrösse und kombinierter Temperatur in Abhängigkeit von der durchschnittlichen Wassertemperatur einer wechselnden Zahl von Grad-Tagen (G. T.). Diese sind vom Vortag des Schwärmens an zurückgezählt worden (vergl. Tab. 2).

Abb. 5 zeigt, wie das Bestimmtheitsmass zunächst zunimmt, wenn mehr Grad-Tag für die Wassertemperatur einbezogen werden. Bei einer Wassertemperatur, die den Durchschnitt über die letzten 20 Grad-Tag vor dem Schlüpfen darstellt, wird mit $c = 0,8135$ und $B = 83,2\%$ ein Maximum erreicht; dann sinkt das Bestimmtheitsmass wieder beträchtlich. Da bei 200 Grad-Tagen erreichte hohe Korrelation zeigt, dass 83% der Streuung der Lichtintensität durch die unterschiedlichen Luft- und Wassertemperaturen erklärbar sind. Wir können uns nicht vorstellen, dass die Helligkeitspräferenz für das Schwärmen und die beiden Temperaturen gemeinsam von einem übergeordneten Faktor abhängen. Deshalb sind wir der Ansicht, dass man der zur Schwärmzeit gemessenen Lufttemperatur und der während der letzten Entwicklungszeit herrschenden Wassertemperatur die Hauptfaktoren erfasst sind, die das Helligkeitspräferendum bedingen.

Ähnliche Kurven ergeben sich, wenn nicht die mittlere Temperatur der in Tab. links aufgeführten Zeitabschnitte vor dem Schwärmen der Imagines in die Rechnung eingesetzt werden, sondern das gleitende Mittel für 60 Grad-Tag und für 120 Grad-Tag. Die beiden maximalen Bestimmtheitsmassen fallen dabei ganz ähnlich aus ($B = 0,823$ für die mittlere Wassertemperatur von 100–160 Grad-Tagen und $B = 0,830$ für diejenige von 60–180 Grad-Tagen vor der Imago). Dies zeigt, dass nicht unbedingt die gesamten letzten 200 Grad-Tag von Bedeutung sind.

Die Summe aus Lufttemperatur und 0,8135 mal die mittlere Wassertemperatur der letzten 200 Grad-Tage ist also viel enger mit der Lichtintensität korreliert als die Lufttemperatur oder die Wassertemperatur allein (Abb. 4 c). Welchen Entwicklungsabschnitt die letzten 200 Grad-Tage umfasst, muss noch untersucht werden. Es dürfte sich um die Stadien der Vorpuppe und Puppe handeln. In diesen Stadien müssen offenbar Prozesse ablaufen, die sich bei der Imago auf die Helligkeit, bei der die Mücken schwärmen, auswirken. Daneben scheint die Temperatur zur

TAB. 2

Korrelation zwischen Lichtintensität und Temperatur

| Grad — Tage | Bestimmtheitsmass B | | c |
|-----------------------------------|-------------------------|---------------------------------------|--------|
| | Wassertemperatur allein | Wasser- und Lufttemperatur kombiniert | |
| 20 | 0.6013 | 0.8023 | 1.0829 |
| 40 | 0.5574 | 0.8025 | 0.9715 |
| 60 | 0.5353 | 0.8042 | 0.9172 |
| 80 | 0.5284 | 0.8092 | 0.9206 |
| 100 | 0.4948 | 0.8106 | 0.8722 |
| 120 | 0.5258 | 0.8228 | 0.8964 |
| 140 | 0.5332 | 0.8238 | 0.8795 |
| 160 | 0.5255 | 0.8294 | 0.8677 |
| 180 | 0.5180 | 0.8316 | 0.8391 |
| 200 | 0.5091 | 0.8320 | 0.8135 |
| 220 | 0.4951 | 0.8307 | 0.7899 |
| 240 | 0.4845 | 0.8281 | 0.7734 |
| 260 | 0.4731 | 0.8209 | 0.7553 |
| 280 | 0.4561 | 0.8134 | 0.7300 |
| 300 | 0.4435 | 0.8051 | 0.7152 |
| 320 | 0.4310 | 0.7959 | 0.6875 |
| Lufttemperatur allein: B = 0.4227 | | | |

Schwärmzeit ebenfalls eine Rolle zu spielen. In welcher Weise diese beiden Temperaturen wirksam werden könnten, ist für *Ch. plumosus* noch nicht untersucht. Im folgenden Abschnitt sollen aber verschiedene Möglichkeiten diskutiert werden.

DISKUSSION

Nach den vorliegenden Befunden steht fest, dass die sehr unterschiedlichen Helligkeitspräferenzen für das Schwärmen den Temperaturunterschieden zugeschrieben werden müssen; sind doch mit der Wassertemperatur während der

letzten Entwicklungszeit und mit der Lufttemperatur sowie der Lichtintensität während des Schwärmens die hauptsächlichsten Faktoren erfasst, welche die Schwärmzeit festlegen (Tab. 2). Wahrscheinlich wirken sich Wasser- und Lufttemperatur je auf mehrfache Art und Weise aus; einige Möglichkeiten sollen nun aufgezeigt werden:

1. Die Lufttemperatur wirkt sich direkt auf die Aktivität der Imagines aus. Die untere Aktivitätsgrenze für das Schwärmen dürfte bei 8° liegen; es scheint aber, dass auch Lufttemperaturen von 9° C bis gegen 12° C das Schwärmen noch deutlich beeinträchtigen. Dies geht aus den nachfolgenden Beobachtungen hervor:

An extrem kühlen Morgen bilden sich keine Schwärme (vergl. auch RÖMER und ROSIN, 1969, S. 737). Am 22.6.68 schwärmten etliche Mücken während der Abenddämmerung bei 10° C. Am folgenden Morgen betrug die Lufttemperatur bei Sonnenaufgang 5,5° C. Es wurden keine fliegenden Mücken festgestellt. Von Baumästen weggeschüttelte Tiere landeten sofort wieder am Boden. Auch am 10.6.68 schwärmten während der Abenddämmerung bei 10° C nur einige hundert Individuen. Während der Morgen- dämmerung des folgenden Tages (6,5° C) konnten wieder keine Schwärme festgestellt werden, jedoch einzelne, vorüberfliegende Männchen. Am 13.6.68 schliesslich bildete sich auch am Morgen bei 7,7° C ein Schwärmchen von etwa 600 Mücken über der Versuchsanlage, doch konnte an diesem Morgen nur ein einziges Kopulationspaar beobachtet werden. Bei 12° C am Abend vorher war aber ein relativ grosser Schwarzwärme zu sehen; Mücken waren also in grosser Zahl vorhanden.

Somit könnten sich stark abfallende Tagestemperaturen im Frühjahr auf das Flugvermögen auswirken und dem Schwärmen schon bei relativ grosser Helligkeit ein Ende setzen. Der plötzliche Abbruch des Schwärmens am 31.5.70 (Abb. 1) könnte so erklärt werden, nicht aber der frühere Beginn des Schwärmens im Frühjahr und Herbst. Die temperaturbedingte Aktivitätsbeschränkung ist also für die Schwärmzeit nur von untergeordneter Bedeutung.

2. Die Wassertemperatur könnte über temperaturabhängige Prozesse auf die Entwicklung der Komplexaugen und damit auf das Sehvermögen wirken. Da beim Zustandekommen des Schwärmes bei *Ch. plumosus* die optische Orientierung eine wichtige Rolle spielt, könnte auf diesem Wege die Helligkeit bei der die Mücken schwärmen, von der Wassertemperatur abhängig sein. Bei *Ch. plumosus* haben wir übereinstimmend mit den Befunden von MÖLLER (1961 und 1964) an *Ch. halophilus* feststellen können, dass Frühjahrs- und Spätherbsmücken, welche sich bei tieferen Wassertemperaturen entwickelt haben müssen als Hochsommersmücken, eine viel stärkere Körperpigmentierung zeigen als letztere. Findet auch in den Retina-, Iris- und Nebenzellen der Ommatidien eine stärkere Pigmenteinlagerung statt, so wird die Lichtempfindlichkeit des Komplexauges dadurch herabgesetzt. Im Frühjahr und Herbst würde demnach die das Schwärmen auslösende Helligkeitsempfindung schon bei objektiv viel

grösseren Lichtintensitäten erreicht, als im Sommer. Unsere Befunde deuten darauf hin, dass die Schwärmhelligkeit während der Vorpuppen- und Puppenzeit determiniert wird, also dann, wenn sich die Komplexaugen entwickeln. Über den genauen Zeitabschnitt der Pigmentierung der Augen und über deren Temperaturabhängigkeit ist aber unseres Wissens bei *Chironomus* noch wenig bekannt.

Bei *Ch. halophilus* (MÖLLER, 1964) wird die temperaturabhängige Thoraxpigmentierung während des frühen Puppenstadiums determiniert und bei *Ch. strenzkei* Fittkau (PLATZER, 1967) erfolgt die Pigmentierung der Imagoaugen kurz vor der Puppenhäutung.

Mit obiger Hypothese lassen sich entsprechend auch die Befunde von FISCHER und ROSIN (1968) an *Ch. nuditarsis* erklären. Bei dieser Art ist experimentell nachgewiesen, dass die temperaturabhängige Helligkeitspräferenz für das Schlüpfen der Imago während der Vorpuppenzeit determiniert wird.

Auch für *Culiciden* ist bekannt, dass die Pigmentierung hauptsächlich kurz vor und während der Puppenzeit erfolgt. Während dieser Stadien entwickelt sich hier das imaginale Komplexauge besonders stark, möglicherweise schon bis zu seiner definitiven Grösse (SATÔ, 1953a und 1953b).

3. Die Tatsache, dass die Lufttemperatur am Schwärmtag mit der Helligkeit korreliert ist, könnte ihre Ursache ebenfalls im Sehvermögen haben. Bei *Anopheles sinensis* und *Aedes japonicus* (SATÔ, 1953 a und 1953 b) erreicht die Ommatidienlinse bei 20° C erst 2 Tage nach dem Schlüpfen, bei 25° C einen Tag nach dem Schlüpfen die maximale bikonvexe Krümmung und das Ommatidium als dioptrischer Apparat damit die maximale Lichtstärke. Falls die Augenentwicklung bei *Ch. plumosus* ähnlich verläuft, würde sich die Temperatur der ersten Imaginaltage auf das Helligkeitssehen so auswirken, dass bei tiefer Temperatur die Augen der Schwarmmücken noch nicht voll entwickelt sind und also weniger Licht sammeln als bei hoher Temperatur. Man kann sich also vorstellen, dass *Ch. plumosus* bei grösserer Helligkeit schwärmt, wenn kühle Wetterperioden die Linsenentwicklung stark verzögert haben und es ist zu erwarten, dass das Bestimmtheitsmass der Korrelation zwischen Lichtintensität zur Zeit der maximalen Schwarmgrösse und der Lufttemperatur (Tab. 2) grösser ausfallen würde, wenn die Temperaturverhältnisse während der gesamten Imaginalzeit berücksichtigt worden wären und nicht nur die momentane Lufttemperatur zur Zeit der maximalen Schwarmgrösse.

4. Dass das Sehvermögen für das Schwärmen wichtig ist, geht auch aus Abb. 1 b hervor. Die Morgendämmerungsschwärme erreichen bei geringerer Helligkeit ihre maximale Grösse als diejenigen zur Zeit der Abenddämmerung. Dieser Unterschied könnte auf eine Adaptationsfähigkeit des Komplexauges zurückzuführen sein.

Für Chironomiden und Culiciden ist sie in mehreren Arbeiten nachgewiesen (TUURALA, 1963; SATÔ, 1950, 1951 und 1957)¹. Bei der Morgendämmerung sind die Augen dunkeladaptiert, sodass die Mücken (infolge grösserer Lichtempfindlichkeit ihrer Augen) schon bei niedrigerer Helligkeit genügend sehen können und schwärmen. Im weiteren hat die Untersuchung von SATÔ, KATÔ und TORIUMI (1957) gezeigt, dass bei *Culex pipiens* (var. *pallens* Coquillett) offenbar ein Zusammenhang besteht zwischen der Aktivitätszeit der Mücken und der Adaptationszeit ihrer Komplexaugen. Bei gleichen Lichtverhältnissen unterscheiden sich die Aktivitätszeiten von Männchen und Weibchen, entsprechend aber auch die Adaptationszeiten der Komplexaugen beider Geschlechter. Vielleicht liessen sich auch die etwas differierenden Schwärmzeiten beider Geschlechter von *Chironomus plumosus* (RÖMER, 1970a: S. 613 und 1970b: S. 952) auf unterschiedliche Adaptationseigenschaften zurückführen.

Das unterschiedliche Sehvermögen könnte also der Hauptgrund dafür sein, dass *Ch. plumosus* im Jahresverlauf bei ganz verschiedenen Helligkeiten schwärmt. Das Helligkeitssehen würde einerseits durch die von der Wassertemperatur abhängige Pigmentierung der Imaginalaugen gesteuert, andererseits durch deren von der Lufttemperatur abhängige Spätentwicklung beeinflusst. Die beiden Temperaturen müssten somit gleichsinnig auf das Helligkeitssehen und damit auf die Schwärmzeit wirken, was unseren Befunden entspricht. Dies kommt in der engen Korrelation zwischen der Helligkeit beim Schwärmen und einer linearen Kombination von Wasser- und Lufttemperatur zum Ausdruck.

ZUSAMMENFASSUNG

1. Am Wohlensee bei Bern (46° 58' N; 7° 19' E) sind die täglichen Schwärmzeiten von *Chironomus plumosus* unter besonderer Beachtung der Licht- und Temperaturverhältnisse ab anfangs Mai bis Mitte Oktober registriert worden.

2. *Ch. plumosus* schwärmt während der starken Lichtintensitätsänderung zur Zeit der Abend- und Morgendämmerung.

3. Im Frühjahr und Herbst liegen die Schwärmzeiten vor Sonnenuntergang, im Sommer jedoch nach Sonnenuntergang; dieser sukzessiven Verschiebung der Schwärmzeit im Verlaufe des Jahres entspricht eine Verschiebung des Lichtintensitätsbereiches, bei dem die Mücken schwärmen.

4. Es besteht eine lockere, negative Korrelation zwischen der Lufttemperatur und der Lichtintensität zur Zeit der maximalen Schwarmgrösse; eine etwas stärkere negative Korrelation besteht zwischen der Wassertemperatur des Wohlensees während der letzten Entwicklungszeit der Schwarmmücken und dieser

¹ Herrn P. L. Herrling, Zoologisches Institut der Universität Zürich, danken wir für die wertvollen Literaturhinweise.

lichtintensität; die beste Korrelation ($r = -0,91$) ergibt sich bei einer linearen Kombination der beiden Temperaturen.

5. Mit der Lichtintensität zur Zeit der maximalen Schwarmgrösse und den beiden erwähnten Temperaturen sind die wichtigsten Faktoren erfasst, welche die Schwärmzeit festlegen.

6. Es wird diskutiert, auf welche Art und Weise Luft- und Wassertemperatur die Entwicklung sowie die Funktionsweise des Komplexauges modifizieren und so über das Sehvermögen die Verschiebung der täglichen Schwärmzeiten hervorrufen könnten.

RÉSUMÉ

1. Les périodes journalières de vol en essaim de *Chironomus plumosus* ont été enregistrées au bord du lac de Wohlen près de Berne ($46^{\circ} 58' N$; $7^{\circ} 19' E$), du début de mai à mi-octobre et il a été tenu compte surtout des conditions de lumière et de température.

2. *Ch. plumosus* vole en essaim pendant le fort changement d'intensité lumineuse à l'aurore et au crépuscule.

3. Au printemps et en automne, les périodes de vol en essaim se situent avant, mais en été après le coucher du soleil; à ce déplacement alternatif de la période de vol en essaim au cours de l'année correspond un décalage de l'intensité lumineuse.

4. Il existe une corrélation négative assez lâche entre la température atmosphérique et l'intensité lumineuse au moment où l'essaim atteint son ampleur maximale; une corrélation négative un peu plus marquée existe entre la température de l'eau du lac de Wohlen pendant la dernière période de développement des moustiques et cette intensité lumineuse; la meilleure corrélation ($r = -0,91$) donne une combinaison linéaire des deux températures.

5. L'intensité lumineuse et la température atmosphérique au moment où l'essaim atteint son ampleur maximale, ainsi que la température de l'eau, sont les facteurs les plus importants qui déterminent la période de vol en essaim.

6. Il est discuté de quelle manière la température de l'air et de l'eau peuvent modifier le développement et la fonction de l'œil complexe et par là provoquer un décalage des périodes journalières de vol.

SUMMARY

1. The daily swarming periods of *Chironomus plumosus* were taped und special consideration of light intensity and temperature at the lake of Wohle (46° 58' N; 7° 19' E) from the beginning of May till the middle of October.
2. *Ch. plumosus* is swarming during the great change of light intensity disk and dawn.
3. In spring and autumn *Ch. plumosus* is swarming before sunset, in summer after sunset; this gradual shift of the swarming period in the course of a year corresponds to a shift in the scope of the light intensity in which the midges are swarming.
4. There is a slack negative correlation between the temperature of the air and the light intensity at the peak stage of the swarm; and there is a somewhat stronger negative correlation between the temperature of the water of the lake of Wohle during the last period of development of swarming midges and the light intensity. The best correlation ($r = -0,91$) results from a linear combination of the two temperatures.
5. The most important factors determining the swarming period are covered with the light intensity at the peak stage of the swarm and the two (above mentioned) temperatures.
6. It is discussed how air- and watertemperature could modify development and function of the compound eye of *Chironomus* and in what way eye development could cause the shift of the daily swarming period.

LITERATUR

- EIDMANN, H. 1970. *Lehrbuch der Entomologie*. Hamburg und Berlin, P. Parey.
- FISCHER, J. 1969a. Das larvale Wachstum von *Chironomus nudatarsis* Str. Rev. suisse Zool. 76: 727-734.
- 1969b. Zur Fortpflanzungsbiologie von *Chironomus nudatarsis*. Str. Rev. suisse Zool. 76: 23-55.
- und S. ROSIN. 1968. Einfluss von Licht und Temperatur auf die Schlüpf-Aktivität von *Chironomus nudatarsis* Str. Rev. suisse Zool. 75: 538-549.
- HILSENHOFF, W. L. 1966. The Biology of *Chironomus plumosus* (Diptera: Chironomidae) in Lake Winnebago, Wisconsin. Ann. ent. Soc. Am. 59: 465-473.
- KLÖTZLI, A. M., F. RÖMER und S. ROSIN. 1971. Jahreszeitliche Grössenvariation bei *Chironomus plumosus* L. Rev. suisse Zool. 78: 587-603.

- KOSKINEN, R. 1969. *Observations on the swarming of Chironomus salinarius Kieff. (Diptera, Chironomidae)*. Ann. zool. fenn. 6: 145-149.
- LINDER, A. 1960. *Statistische Methoden für Naturwissenschaftler, Mediziner und Ingenieure*. Basel, Birkhäuser.
- MÖLLER, J. 1964. *Über die temperaturabhängige Variabilität der Pigmentierung von Chironomus halophilus Kieff.* Arch. Hydrobiol. 60: 358-365.
- 1966. *Die Färbung als diagnostisches Merkmal bei Chironomiden*. Gewäss. Abwäss. 41/42: 38-43.
- PLATZER, I. 1967. *Untersuchungen zur Temperaturadaptation der tropischen Chironomidenart Chironomus Strenzkei Fittkau (Diptera)*. Z. vergl. Physiol. 54: 58-74.
- RÖMER, F. 1970a. *Einfluss von Temperatur und Alter auf die Flugtonhöhe beim Schwärmen von Chironomus plumosus L.* Rev. suisse Zool. 77: 603-616.
- 1970b. *Flugtöne der Weibchen und Locktöne für Männchen von Chironomus plumosus L. beim Schwärmen*. Rev. suisse Zool. 77: 942-959.
- und S. ROSIN. 1969. *Untersuchungen über die Bedeutung der Flugtöne beim Schwärmen von Chironomus plumosus L.* Rev. suisse Zool. 76: 734-740.
- SATÔ, S. 1950. *Compound eyes of Culex pipiens var. pallens Coquillett. (Morphological studies on the compound eye in the mosquito, No. I.)* Sci. Rep. Tôhoku Univ., Biol. 18: 331-341.
- 1951. *Developement of the compound eye of Culex pipiens var. pallens Coquillett. (Morphological studies on the compound eye in the mosquito, No. II.)* Ibid. 19: 23-28.
- 1953a. *Structure and development of the compound eye of Aedes (Finlaya) japonicus Theobald. (Morphological studies on the compound eye in the mosquito, No. III.)* Ibid. 20: 33-44.
- 1953b. *Structure and development of the compound eye of Anopheles hyrcanus sinensis Wiedemann (Morphological studies on the compound eye in the Mosquito, No. IV.)* Ibid. 20: 45-53.
- 1957. *On the dimensional characters of the compound eye of Culex pipiens var. pallens Coquillett. (Morphological studies of the compound eye in the mosquito, No. V.)* Ibid. 23: 83-90.
- , M. KATÔ and M. TORIUMI. 1957. *Structural changes of the compound eye of Culex pipiens var. pallens Coquillett in the process to dark adaptation.* Ibid. 23: 91-100.
- SYRJÄMÄKI, J. 1966. *Dusk swarming of Chironomus pseudothummi Strenzke (Dipt., Chironomidae)*. Ann. zool. fenn. 3: 20-28.
- 1967. *Laboratory studies on the swarming behaviour of Chironomus strenzkei Fittkau in litt. (Dipt., Chironomidae)*. Ann. zool. fenn. 4: 19-28.
- TUURALA, O. 1963. *Bau und photomechanische Erscheinungen im Auge einiger Chironomiden (Dipt.)*. Ann. ent. fenn. 29: 209-217.